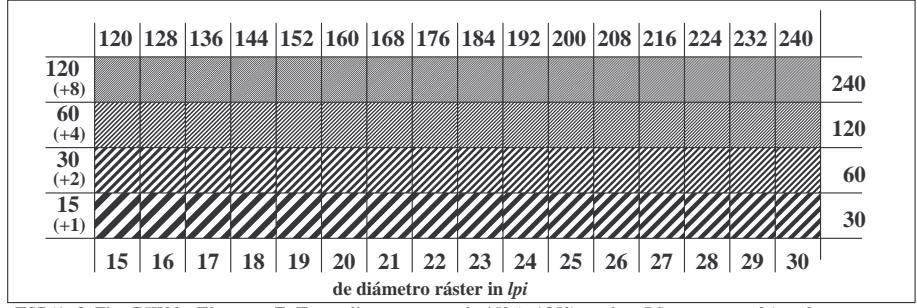


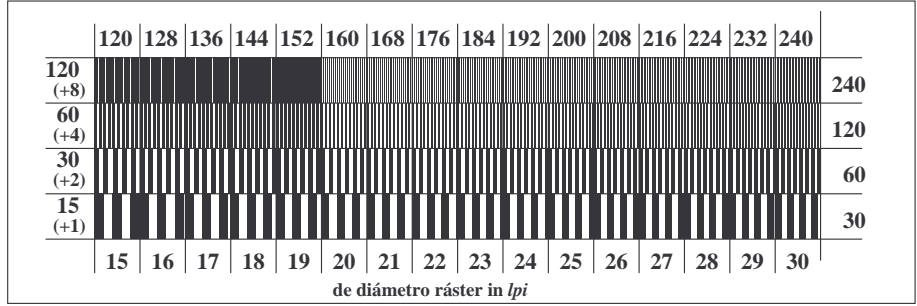
*paso fondo* 0 1 *paso del anillo* 0-1  
*Código Hexadecimal* 7 8 *Código Hexadecimal* 7-8  
 E F E-F  
 2 0 2-0  
 8 6 8-6  
 F D F-D

anillos de Landolt W-N código: fondo-paso del anillo

TS761-1, Fig. C4Wde: Elemento D: anillos de Landolt W-N; PS operator: *rgb/cmy0*



TS761-3, Fig. C5Wde: Elemento E: Trama línea menores de 45° (o 135°) grados; PS operator: *rgb/cmy0*



TS761-5, Fig. C6Wde: Elemento F: Trama línea menores de 90° (o 0°) grados; PS operator: *rgb/cmy0*

TS760-3, Fig. C1Wde: Elemento A: rejillas radial N-W, W-N, N-Z y W-Z; PS operator: *rgb/cmy0*

$L^*/Y_{\text{pretenden}}$ (absoluta)	18.0/18.0	37.3/37.3	56.7/56.7	76.1/76.0	95.4/95.4	$N_0(\text{min.})$	$W_1(\text{max.})$
$w^*=I^*_{\text{CIELAB}, r}$ (relativa)							
$w^*_{\text{entrada}}$	0,000	0,250	0,500	0,750	1,000	$N_0(\text{min.})$	$W_1(\text{max.})$
$w^*_{\text{salida}}$							

TS760-5, Fig. C2Wde: Elemento B: 5 equidistante  $L^*$  pasos de gris +  $N_0$  +  $W_1$ ; PS operator: *rgb/cmy0*

$L^*/Y_{\text{pretenden}}$ (absoluta)	18.0/18.0	23.2/23.2	28.3/28.3	33.5/33.5	38.6/38.6	43.8/43.8	49.0/49.0	54.1/54.1	59.3/59.3	64.4/64.4	69.6/69.6	74.8/74.8	79.9/79.9	85.1/85.1	90.2/90.2	95.4/95.4
NO y código Hex	00;F	01;E	02;D	03;C	04;B	05;A	06;9	07;8	08;7	09;6	10;5	11;4	12;3	13;2	14;1	15;0
$w^*=I^*_{\text{CIELAB}, r}$ (relativa)																
$w^*_{\text{entrada}}$	0,000	0,067	0,133	0,200	0,267	0,333	0,400	0,467	0,533	0,600	0,667	0,733	0,800	0,867	0,933	1,000
$w^*_{\text{salida}}$																

TS760-7, Fig. C3Wde: Elemento C: 16 equidistante  $L^*$  pasos de gris; PS operator: *rgb/cmy0*